

مطالعه تغییرات ژئومورفولوژی بستر رودخانه کارون و علل آن از سال ۱۹۵۴ تا ۱۳۹۱ (۲۰۱۱ تا ۱۳۳۴)

مریم رسیدی - کارشناس ارشد هیدرولوژی و مورفولوژی، گروه جغرافیا، دانشکده ادبیات، دانشگاه فردوسی مشهد
سید رضا حسین زاده* - دانشیار گروه جغرافیا، دانشکده ادبیات، دانشگاه فردوسی مشهد
عادل سپهر - استادیار دانشکده منابع طبیعی و محیط‌زیست دانشگاه فردوسی مشهد
حیدر زارعی - استادیار، گروه هیدرولوژی، دانشکده علوم آب دانشگاه شهید چمران اهواز
محمد خانه باد - استادیار گروه زمین‌شناسی، دانشکده علوم، دانشگاه فردوسی مشهد

پذیرش مقاله: ۱۳۹۴/۱۰/۰۷ تأیید نهایی: ۱۳۹۵/۰۴/۰۶

چکیده

مطالعه تغییرات مورفولوژیک رودخانه‌ها و رابطه آن با عوامل تأثیرگذار طبیعی و انسانی به‌طور گستره‌ای به عنوان یک ابزار مفید بهمنظور مشخص نمودن روند تکاملی رودخانه‌ها و برنامه‌ریزی درست برای حفاظت و بازسازی رودخانه‌ها شناخته شده است. استان خوزستان با برخورداری از جریان رودخانه‌های دائمی بزرگ، نقش مهمی را در چرخه حیاتی آب کشور ایفا نموده و سهم قابل توجهی از اهداف توسعه پایدار در بخش آب و کشاورزی را به خود اختصاص داده است. در این میان رودخانه کارون به عنوان بزرگ‌ترین رودخانه ایران همه‌ساله حجم آب قابل توجهی را به دشت خوزستان و نهایتاً خلیج فارس روانه می‌سازد. این مطالعه به بررسی تغییرات ژئومورفولوژیکی رودخانه کارون با استفاده از تفسیر عکس‌های هوایی و تصاویر ماهواره‌ای تجزیه و تحلیل آماری هیدرولوژیکی و آنالیزهای رسوب‌شناسی در محدوده شهر اهواز می‌پردازد. ابتدا با استفاده از عکس‌های هوایی، تصاویر ماهواره‌ای IRS و Landsat تغییرات مکانی و زمانی بستر رودخانه طی سال‌های ۱۹۵۴، ۲۰۰۰ و ۲۰۱۱ مورد تجزیه و تحلیل قرار گرفت و سپس به بررسی علل این تغییرات پرداخته شد. نتایج حاصل از بررسی‌ها نشان داد که طی ۵۷ سال تغییرات چشمگیری در مورفولوژی رودخانه از جمله تغییر در عرض رودخانه بهویژه در محدوده شهر اهواز، تغییر در مناندرها و ایجاد جزایر رسوبی به وجود آمده است. همچنین آنالیز رسوبات جزایر نشان داد رسوبات تشکیل‌دهنده جزایر حاصل سیلاب‌های متعدد بوده که در محیطی آرام نهشته‌گذاری شده‌اند. علل اصلی ایجاد تغییرات کاهش دبی به دلیل ساخت سدهای متعدد در بالادست، ساخت پلهای متعدد در مسیر رودخانه بهویژه در محدوده شهر اهواز، عوامل زمین‌شناسی و پوشش گیاهی می‌باشد. به‌طورکلی انسان و دخالت‌های آن مهم‌ترین عامل تغییرات مورفولوژی بستر رودخانه کارون می‌باشد.

واژگان کلیدی: رودخانه کارون، جزایر رسوبی، ژئومورفولوژی رودخانه‌ای، بستر رودخانه، اهواز

مقدمه

رودخانه‌ها دارای تعادل دینامیکی می‌باشند اما با توجه به نوسانات دبی و رسوب در زمان و مکان‌های متفاوت و از نظر طولی و عرضی تغییر پیدا می‌کنند و به طور مداوم در حال تنظیم مسیر خود می‌باشند. این تغییرات تنظیم‌کننده و محرك دینامیک زیست‌محیطی است که تنوع سیستم‌های طبیعی را به عهده می‌گیرد. از این‌رو تغییرات طبیعی می‌باشد و به عنوان یک بخش حیاتی از سیستم رودخانه عمل می‌کند. اما فعالیت‌های انسانی می‌تواند به طور بالقوه بر روی تغییرات رودخانه تأثیرگذار باشد(الرو^۱: ۲۰۰۹،^۲ ۲۴۷). مطالعه تغییرات مورفولوژیک رودخانه‌ها و رابطه آن با عوامل تأثیرگذار طبیعی و انسانی به طور گستره‌های به عنوان یک ابزار مفید به منظور مشخص نمودن روند تکاملی رودخانه‌ها و برنامه‌ریزی درست برای حفاظت و بازسازی رودخانه‌ها شناخته شده است. تغییرات مورفولوژیک شامل تغییرات بستر رود که خود درنتیجه فرسایش و رسوب‌گذاری است و همچنین تغییر شکل رودخانه با توجه به کanal، عرض، موقعیت و الگوی رودخانه، می- باشد(کریکی^۳ و همکاران، ۱۵: ۲۰۶). تغییرات قابل ملاحظه‌ای از سواحل رودخانه که به دلایل طبیعی(مثل تغییرات آب‌وهوا) و یا تأثیرات انسانی(مثل برداشت آب، سدسازی و یا برداشت رسوب) رخ می‌دهد، ممکن است باعث تغییر شکل مورفولوژیکی رودخانه در درازمدت شود و درنهایت رودخانه بخش‌های بزرگی از حوضه خود را از دست بدهد(دی سیلویو و نونس^۴: ۱) بررسی تأثیرات عوامل طبیعی و انسانی بر روی حوضه آبخیز و کanal رودخانه، به صورت جداگانه بسیار دشوار است به ویژه زمانی که این دو عامل باهم ترکیب شده باشند(کریکی و همکاران، ۱۵: ۲۰۱۵). شکل‌گیری جزایر آبرفتی یک فرآیند طبیعی است که تحت تأثیر هیدرولوژی و میزان انتقال رسوب در سیستم است که درنتیجه رسوب‌گذاری مواد درشت‌تر از بار معلق تشکیل می‌شوند. مطالعه نحوه تشکیل جزایر درک اساسی به بررسی روند مورفولوژیکی رودخانه‌ها به ما می‌دهد. عدم توانایی رودخانه برای جابه‌جایی بار بستر و اباشته شدن آن شکل اولیه جزیره را به وجود می‌آورد و پس از رسوب‌گذاری بیشتر در جهت طولی و عرضی گسترش می‌باید(رسلن و سالاما^۵: ۲۰۱۵: ۷۷). استان خوزستان با برخورداری از جریان رودخانه‌های دائمی بزرگ، نقش مهمی را در چرخه حیاتی آب کشور ایفا نموده و سهم قابل توجهی از اهداف توسعه پایدار در بخش آب و کشاورزی را به خود اختصاص داده است. در این میان رودخانه کارون به عنوان بزرگ‌ترین رودخانه ایران هم‌ساله حجم آب قابل توجهی را به دشت خوزستان و نهایتاً خلیج فارس روانه می‌سازد (دماؤندی نژاد منفرد، ۱۳۷۸: ۴). در سال‌های اخیر مطالعات متعددی در زمینه تغییرات ژئومورفولوژیکی رودخانه‌ها در سراسر جهان صورت گرفته است. یانگ^۶ و همکاران (۱۹۹۹) تحقیقی در زمینه آشکارسازی تغییرات خط ساحلی رودخانه زرد چین با استفاده از تصاویر ماهواره‌ای انجام دادند. نتیجه این تحقیق نشان داده که رودخانه از حالت شریانی مستقیم به مئاندری ضعیف تغییر شکل داده است. البته میزان این تغییرات در سرتاسر رودخانه به یک شکل نبوده و در بعضی از نقاط بستر مئاندرهای توسعه یافته شکل گرفته است. هام و چارچ^۷ (۲۰۰۲) به مطالعه و توسعه نوار جزایر ماسه‌ای رودخانه فریزر^۸ در کلمبیا در طول قرن بیستم پرداختند. آن‌ها دریافتند که سیلان کمتر از حد متوسط بین سال‌های ۱۹۷۷ و ۲۰۰۲ باعث رشد پوشش گیاهی بر روی سطوح کناری جزایر قدیمی شده و درنتیجه جزایر جدید را ایجاد می‌کند. به علاوه مواد رسوبی به طور فزاینده‌ای در طول یا مجاورت ساحل یا سطوح جزایر در کanal اصلی به جای گذاشته می‌شوند. درنتیجه جزایر در اندازه‌های مختلف رشد کرده و باعث کم شدن عمق کanal و تنگ شدن عرض آن

¹ - Ollero² - Clerici³ - Di Silvio and Nones⁴ - Raslan and Salama⁵ - Yang⁶ - Ham and Charch⁷ - Fraser

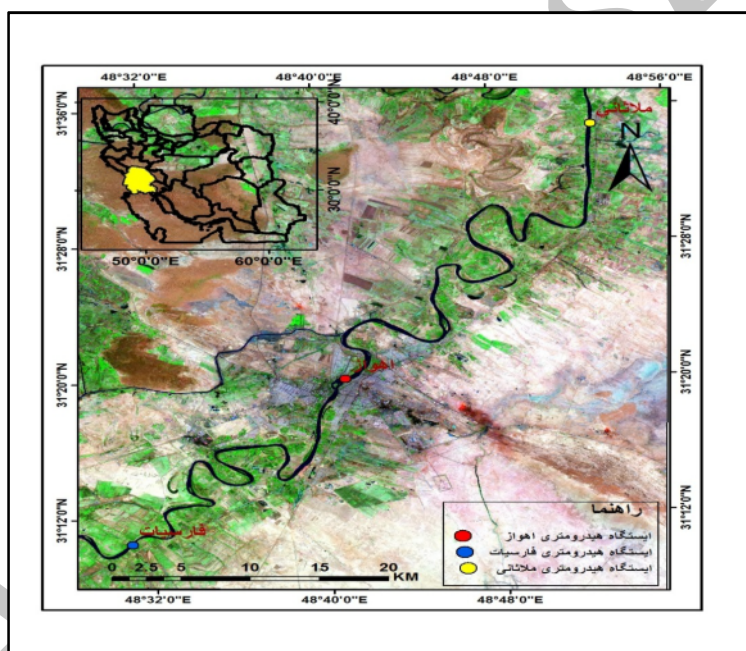
می‌شوند. اورفی^۱ و همکاران (۲۰۰۲) در تحقیقی ویژگی‌های هیدرولیکی و مورفولوژیکی بالادست و پایین‌دست رودخانه پارانا^۲ واقع در آرژانتین و بربزیل را مورد بررسی قرار داده‌اند. در این مطالعه ویژگی‌های هیدرولیکی، مورفولوژیکی و رسوب‌شناسی به منظور ارزیابی میزان تغییرات پارامترهای موردنظر تحلیل شد و نقش شاخه‌های فرعی رودخانه بر میزان دبی جریان و دبی رسوب به مورد بررسی قرار گرفت. بر تولدی^۳ و همکاران (۲۰۱۰) در مطالعه‌ای نقش تغییرات مورفولوژیکی حادث‌شده به وسیله جریان‌های عادی و سیلابی را در رودخانه تاقلیماتو^۴ در ایتالیا مورد بررسی قرار داده‌اند. آن‌ها نشان دادند که وقتی جریان معمولی در رودخانه وجود دارد، بستر رودخانه نسبت به نوع جریان منطبق می‌گردد و اشکال مورفولوژیکی منطبق با آن جریان شکل می‌گیرد؛ اما تغییرات مورفولوژیکی حادث‌شده به وسیله ۶ سیلاب نسبتاً بزرگ چشم‌گیر بوده و تغییرات بزرگی در مقطع عرضی بستر بعد از وقوع هر سیل رخداده است. این مطالعه رابطه بسیار خوبی را بین اوج دبی و پهنای فعال و میانگین تغییرات بستر را نشان داده است. همچنین تغییرات عرضی کanal بعد از وقوع هر سیل مشخص گردید و پایش جریان در حالت دبی‌های متفاوت نشان داد که تفاوت‌های بسیار اساسی در حالت جریان معمولی و جریان‌های سیلابی (جریان‌هایی با دوره بازگشت بیشتر از ۲ سال) وجود دارد. الرو^۵ (۲۰۱۵) با بررسی تغییرات کanal و مدیریت دشت سیلابی و میاندرهای رودخانه ابرو در اسپانیا شاهد تغییرات قابل توجهی در مورفولوژی کanal، بار بستر، پوشش گیاهی ساحلی و دشت سیلابی در بیش از ۸۰ سال گذشته بود. تغییرات چشمگیری که توسط دخالت‌های انسانی انجام‌شده کاهش زیادی در منطقه ساحلی تحت پوشش آب نشان داده است و به طور کلی به این نتیجه رسید که تغییرات کاربری اراضی در کل حوضه، ساخت سیل بندها در کanal اصلی و تغییر سیستم رودخانه نیاز به یک برنامه‌ریزی و مدیریت درست برای بهبود و کاهش خطر را نشان می‌دهد. کریکی^۶ و همکاران (۲۰۱۵) به بررسی تغییرات مورفولوژیکی رودخانه تارو در شمال ایتالیا در دو قرن اخیر پرداختند. به طور کلی با بهره‌گیری از تجزیه و تحلیل پارامترهای مورفولوژیک و مستندات تاریخی مثل نقشه و عکس‌های هوایی، شناسایی تغییرات کanal نشان داد که بیشترین تغییرات را انسان ایجاد کرده است و باعث تنگ‌شدگی مقطع کanal رودخانه به دلیل استفاده از بستر رودخانه برای مقاصد کشاورزی و صنعتی، ساخت پل‌های متعدد و ساحل سازی شده است. در ایران نیز مطالعاتی انجام‌شده است که به چند نمونه از آن اشاره خواهد شد. شاهی نژاد و همکاران (۱۳۸۵) تحقیقی با عنوان بررسی هیدرولیکی رودخانه کارون انجام داده و به این نتیجه رسیدند که برای افزایش ظرفیت آبگذری رودخانه کارون در محدوده شهر اهواز که حدود ۳۰۰۰ مترمکعب بر ثانیه می‌باشد، لزوم اجرای طرح‌های مناسب برای ساماندهی رودخانه از جمله لاپرواژی و طرح انحراف آب ضروری است. قاسمی قهساره و همکاران (۱۳۹۰) تحقیقی با عنوان بررسی اثرات تغییر محیط رسوبی بر پارامترهای فیزیکی، مکانیکی و شیمیایی خاک بازه اهواز تا خرم‌شهر انجام دادند و نتیجه گرفتند که محدوده موردمطالعه از رودخانه کارون به دلیل وضعیت‌های خاص مورفولوژی و هیدرولوژی خود دارای شرایط رسوب‌گذاری متفاوتی بوده و این امر بر خصوصیات فیزیکی، مکانیکی و شیمیایی نهشته‌های رودخانه‌ای تأثیرگذار بوده است. با توجه به رسوب‌گذاری، تشکیل و توسعه جزایر رسوبی در رودخانه کارون در محدوده شهر اهواز؛ این مطالعه با پرداختن به بررسی تغییرات ژئومورفولوژیکی رودخانه، استفاده از تجزیه و تحلیل آماری هیدرو اقلیمی و آنالیزهای رسوب‌شناسی به دنبال رسیدن به میزان تغییرات ایجادشده در رودخانه کارون و همچنین علت ایجاد و توسعه جزایر رسوبی به وجود آمده در محدوده شهر اهواز است. با توجه به تحقیقاتی که انجام‌شده است در این پژوهش سعی گردیده در ادامه بررسی‌های انجام‌شده علاوه بر

¹ -Orfeo² -Parana³ - Bertoldi⁴ -Taqlymanto⁵ - Ollero⁶ - Clerici

مستندسازی تغییرات به وجود آمده در بستر رودخانه کارون به مطالعه توزیع جغرافیایی، روند تغییرات، علت و پیامدهای تشکیل جزایر پرداخته شود.

موقعیت منطقه مورد مطالعه

محدوده مورد مطالعه، بین $31^{\circ} ۲۵' \text{ تا } ۳۱^{\circ} ۴۸'$ عرض شمالی و $۵۰^{\circ} ۴۸' \text{ تا } ۵۰^{\circ} ۳۰'$ طول شرقی در جلگه هموار خوزستان واقع شده است. از لحاظ ساختمانی جزء واحد زاگرس چین نخورده ولی از نظر زمین‌ساخت و رقه‌ای بخشی از صفحه عربستان محسوب می‌شود (علائی طالقانی، ۱۳۸۴: ۱۴۴). سازندهای کنگلومرای بختیاری پلیوسن، سازند آغازاری (مارن، سیلت و ماسه‌سنگ) اولیگوسن - میوسن و آبرفت کواترنر سازندهای زمین‌شناسی منطقه مورد مطالعه را تشکیل می‌دهند (نقشه زمین‌شناسی ۱:۲۵۰۰۰۰ اهواز). بازه مورد مطالعه از رودخانه کارون به طول تقریبی ۱۱۰ کیلومتر از بالادست شهر اهواز یعنی شهر ملاثانی شروع می‌شود و تا پایین دست شهر اهواز به منطقه فارسیات منتهی می‌گردد (شکل ۱). در این قلمرو ایستگاه‌های هیدرومتری ملاثانی، اهواز و فارسیات رژیم آبی رودخانه را ثبت می‌نمایند.



شکل ۱: الف : نقشه محدوده مورد مطالعه

مواد و روش‌ها

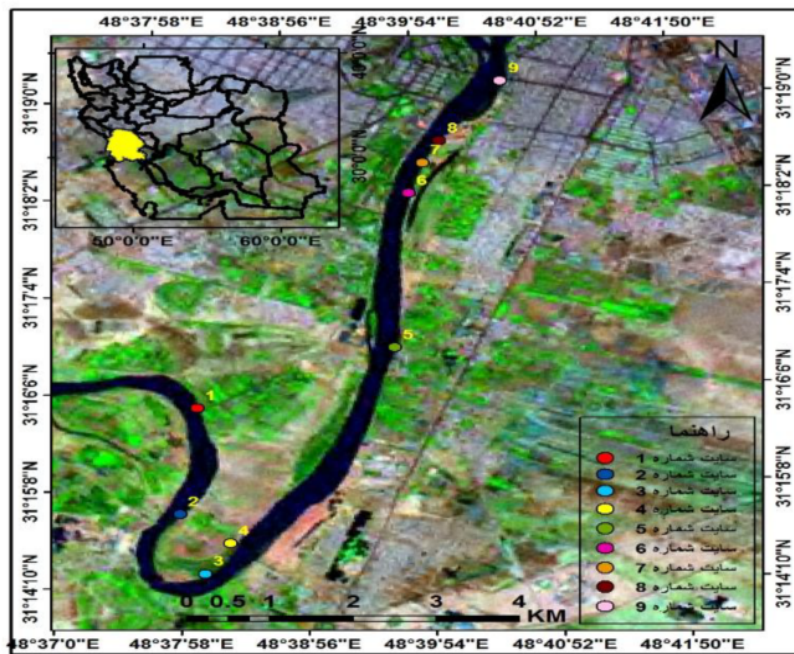
بازه زمانی مورد مطالعه برای بررسی تغییرات ژئومورفولوژی رودخانه ۵۷ سال و از ۱۹۵۴ تا ۲۰۱۱ می‌باشد. مراحل انجام تحقیق را می‌توان به شرح زیر بیان کرد:

- مطالعه مقدماتی شامل تشریح اولیه عکس‌های هوایی و تصاویر ماهواره‌ای که برای بررسی تغییرات هیدرومتری ژئومورفولوژی رودخانه انجام شد. عکس‌های هوایی شامل عکس‌های ۵۵۰۰۰:۱ اسازمان جغرافیایی کشور، سال ۱۳۳۴ و تصاویر ماهواره‌ای شامل تصاویر لندست ۷ سال ۲۰۰۰، تصاویر IRS سال ۲۰۱۱ و تصاویر دریافتی از نرم‌افزار گوگل ارث^۱ بود.

¹ - Google Earth

- ۲- استفاده از نقشه‌های توپوگرافی ۵۰۰۰:۱ برگه‌های اهواز، ملاتانی و بستان مرز حوضه آبریز؛ سپس با استفاده از مرز تهیه شده تصاویر ماهواره‌ای و عکس‌های هوایی منطقه از سازمان جغرافیایی نیروهای مسلح دریافت و در محیط Arc-GIS رقومی شدند و بر اساس آن سایر نقشه‌های جدید مثل نقشه‌های ژئومورفولوژی تهیه گردید.
- ۳- آمار مربوط به دبی هر سه ایستگاه هیدرومتری و آمار بارش در منطقه موردمطالعه از شرکت سهامی آب منطقه‌ای خوزستان تهیه گردید. آمار تهیه شده شامل دبی ماهانه، دبی سالانه، حداقل دبی لحظه‌ای و همچنین آمار بارش‌های ماهانه و سالانه در هر سه ایستگاه می‌باشد. سپس بهوسیله نرمافزار Excel آنالیزهای مربوط به رگرسیون خطی و پلی-نومیال مرتبه ۶ انجام شد و نمودارهای میانگین ماهانه و سالانه دبی و میانگین دبی حداقل لحظه‌ای هر کدام از ایستگاهها از سال ۱۳۹۱ تا سال ۱۳۹۲ رسم گردید. محاسبات بارش و رسم نمودارها نیز به همین ترتیب با استفاده از رگرسیون خطی و پلی‌نومیال مرتبه ۶ رسم و سپس برای محاسبات تأثیر خشک‌سالی بر دبی از ضریب^۱ SPI استفاده گردید و نمودارهای میانگین نیز در نرمافزار اکسل ترسیم شد.
- ۴- بازدیدهای اولیه طی چندین مرحله برای شناخت بهتر و بیشتر از منطقه انجام شد و پس از آن برداشت نمونه رسوب از جزایر در فروردین ۱۳۹۴ به صورت انتخابی و در جزایری که امکان ورود به آن وجود داشت انجام شد(شکل ۲). پس از انتقال رسوبات به آزمایشگاه یک عمق از رسوبات (۲۵ سانتی‌متر) مورد آنالیز قرار گرفت. پس از آنالیز داده‌ها با استفاده از نرمافزار Excel نمودارهای موردنیاز از جمله درصد تجمعی و درصد فراوانی و گرانولومتری رسوبات ترسیم گردید. سپس سایر پارامترهای مربوط به بافت رسوبات، نام رسوبات، توصیف کج شدگی، جور شدگی و غیره مشخص گردید.
- ۵- بررسی تغییرات زمانی و مکانی بستر رودخانه که ابتدا عکس‌های هوایی سال ۱۳۳۴ را با استفاده از نرمافزار Erdas ژئوفرنس کرده و پس از آن موزاییک شد. سپس عکس‌ها و تصاویر ماهواره‌ای در نرمافزار Arc GIS تبدیل هندسی شد و به سیستم مختصات مشترکی وارد گردید. مسیر رودخانه در هر تصویر رقومی و بر اساس انطباق آن‌ها میزان تغییرات به صورت کمی تجزیه و تحلیل شد. ابتدای امر جهت آشنایی با ژئومورفولوژی رودخانه، مسیر رودخانه کارون به صورت بازدیدهای میدانی موردنرسی قرار گرفته و سپس با استفاده از عکس‌های هوایی (۱:۵۵۰۰۰) سازمان جغرافیایی کشور: (۱۳۳۴)، تصاویر ماهواره‌ای (ماهواره لنست ۷، سال ۲۰۰۰، ماهواره IRS، سال ۲۰۱۱) در سه بازه زمانی نقشه ژئومورفولوژی رودخانه کارون در محدوده موردنظر که به چهار قطعه تقسیم شده بود، تهیه و سپس با استفاده از این نقشه‌ها بررسی و تفسیر تغییرات ایجاد شده در رودخانه و جزایر موردمطالعه انجام گرفت. بازه اول از شهر ملاتانی تا ویس، بازه دوم از شهر ویس تا روستای سید عامر، بازه سوم از روستای سید عامر تا پل ششم اهواز و درنهایت بازه چهارم از پل ششم اهواز تا روستای موران می‌باشد.

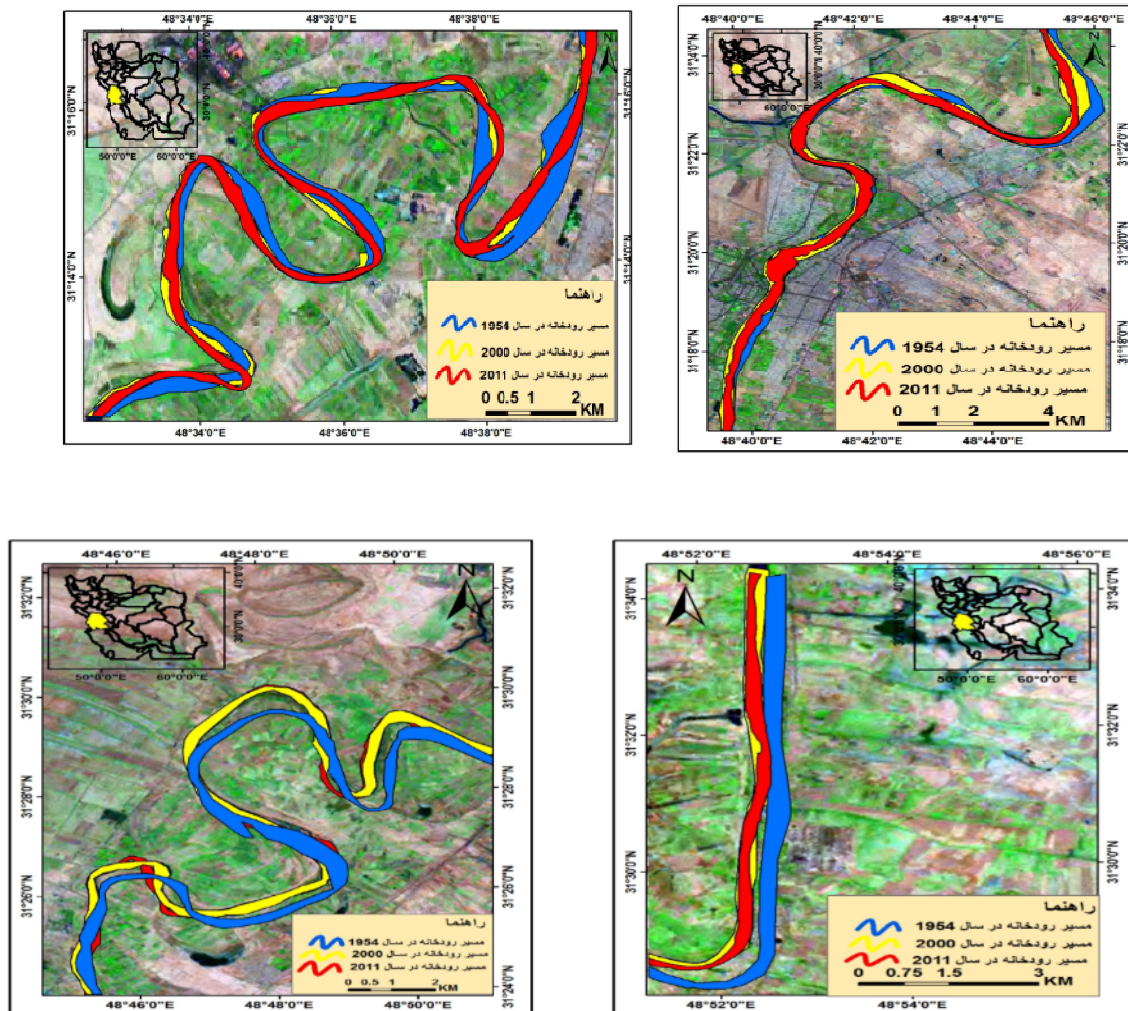
^۱ - Standard precipitation index



شکل ۲: نقشه موقعیت سایت‌های برداشت نمونه رسوب از جزایر رودخانه کارون

نتایج و بحث بررسی تغییرات ژئومورفولوژی بستر رودخانه کارون

تغییرات به وجود آمده در رودخانه کارون طی بازه زمانی موردمطالعه شامل تغییرات طولی، عرضی و همچنین تغییرات در ژئومورفولوژی بستر رودخانه می‌باشد. مسیر رودخانه از سال ۱۳۳۴ که مبنای بازه زمانی موردمطالعه بوده است تا سال ۱۳۹۱، تغییرات و جابه‌جایی‌های بسیاری را متحمل شده است. (شکل ۳) با توجه به مقاطع عرضی رودخانه که مقادیر آن در جدول شماره ۱ آورده شده است، مشاهده می‌شود که تغییرات عرضی کanal رودخانه بسیار زیاد بوده است. میانگین تغییرات نشان می‌دهد که در مجموع در بین بازه‌های موردمطالعه در این پژوهش در دوره ۵۷ ساله کمترین میزان تغییرات عرضی رودخانه در بازه اول با میانگین ۳۳۰ متر و بیشترین میزان تغییرات عرضی در بازه سوم رودخانه یعنی در محدوده شهری اهواز با میانگین ۴۳۰ متر می‌باشد. از نظر الگوی کanal رودخانه و ارتباط آن با میزان تغییرات مشاهده شده در مرحله دوم و بررسی نقشه‌های تاریخی نشان می‌دهد که الگوی شریانی (بازه شماره ۲) در مرحله اول و الگوی میاندی (بازه شماره سه و چهار) بیشترین تغییرات و جابه‌جایی را دارد می‌باشد در حالی که در بازه‌های مستقیم (بازه شماره ۱) از ثبات بیشتری نسبت به دیگر بازه‌ها برخوردار هستند.



شکل ۳: تغییرات کanal رودخانه کارون از سال ۱۹۵۴ تا ۲۰۱۱

جدول ۱: تغییرات مقاطع عرضی کanal رودخانه از ۱۹۵۴ تا ۲۰۱۱

| سال ۲-۱۱ | سال ۱۹۵۴ | شماره قطعه |
|-------------|-------------|---------------|-------------|-------------|---------------|-------------|-------------|---------------|-------------|-------------|---------------|
| ۳۲۳ | ۵۵۷ | ۲۴ | ۲۲۴ | ۳۱۹ | ۲۲ | ۱۵۰ | ۲۶۰ | ۱۲ | ۱۰۵ | ۳۳۵ | ۱ |
| ۲۰۲ | ۴۹۴ | ۲۵ | ۲۱۸ | ۲۸۷ | ۲۲ | ۲۵۵ | ۴۱۵ | ۱۳ | ۱۵۱ | ۴۵۰ | ۲ |
| ۱۴۳ | ۴۲۰ | ۲۶ | ۲۲۸ | ۴۹۴ | ۲۵ | ۲۳۳ | ۷۸۵ | ۱۵ | ۱۶۳ | ۳۵۵ | ۳ |
| ۲۲۴ | ۴۴۱ | ۲۷ | ۱۲۲ | ۲۱۲ | ۲۶ | ۲۴۸ | ۲۹۰ | ۱۵ | ۲۸۵ | ۳۲۲ | ۴ |
| ۲۱۷ | ۱۷۰ | ۲۸ | ۲۲۹ | ۲۸۰ | ۲۷ | ۱۵۱ | ۳۵۹ | ۱۶ | ۵۵ | ۲۹۸ | ۵ |
| ۲۲۸ | ۶۰۱ | ۲۹ | ۳۶۸ | ۹۵۸ | ۲۸ | ۱۰۰ | ۲۱۷ | ۱۷ | ۲۰۰ | ۴۰۱ | ۶ |
| ۱۷۷ | ۴۴۲ | ۳۰ | ۲۱۳ | ۴۰۳ | ۲۹ | ۲۳۱ | ۲۳۳ | ۱۸ | ۱۶۲ | ۳۷۲ | ۷ |
| ۲۲۶ | ۴۸۶ | ۳۱ | ۲۷۹ | ۴۲۵ | ۳۰ | ۱۵۵ | ۴۸۱ | ۱۹ | ۱۰۰ | ۴۰۲ | ۸ |
| ۳۶۸ | ۱۵۸ | ۳۲ | ۲۸۸ | ۹۹۶ | ۳۱ | ۶۶۳ | ۶۰۲ | ۲۰ | ۱۳۱ | ۴۷۰ | ۹ |
| ۲۱۴ | ۲۱۹ | ۳۳ | ۲۶۳ | ۴۲۲ | ۲۲ | ۱۹۸ | ۲۲۵ | ۲۱ | ۱۶۹ | ۴۹۶ | ۱۰ |
| ۲۷۹ | ۴۴۶ | ۳۴ | ۲۱۸ | ۵۴۸ | ۲۲ | ۲۵۴ | ۴۰۴ | ۲۲ | ۲۵۰ | ۴۷۲ | ۱۱ |

از مهمترین تغییرات مورفولوژی بستر رودخانه کارون جزایر رسوبی به وجود آمده در بستر رودخانه می‌باشد. بیشترین تعداد این جزایر در محدوده شهر اهواز تشکیل شده است.

روند تغییرات این جزایر از سال ۱۳۳۴ تا سال ۱۳۹۱ از روی نقشه‌های ژئومورفولوژی تهیه شده واضح و آشکار می‌باشد. به طور کلی جزایر به وجود آمده در رودخانه کارون به سه دسته تقسیم می‌شوند:

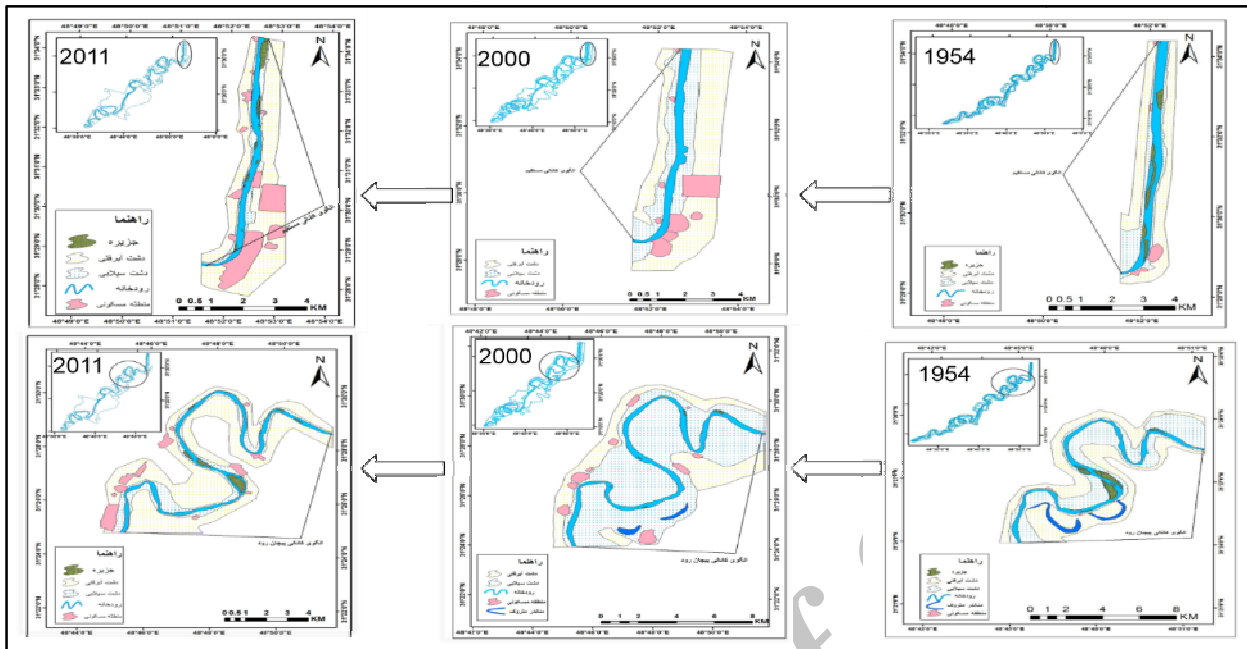
۱- جزایر طولی که در وسط کanal تشکیل شده‌اند، شکل آن‌ها به صورت طویل و قطره‌ای است. ساختار متداول آن‌ها (درشتدانه و ریزدانه بودن ذرات رسوبات تشکیل دهنده آن‌ها) نشان‌دهنده دوره‌های متفاوت سیلابی است. تشکیل این جزایر در وسط کanal نشان‌دهنده ورود حجم زیادی از رسوبات به درون کanal است که رودخانه توانایی حمل آن‌ها را ندارد. تنها تفاوت این جزایر با موانع طولی پوشیده بودن جزایر از پوشش گیاهی می‌باشد که خود باعث نهشته‌گذاری بیشتر و پایداری جزایر شده است.

۲- جزایر عرضی که در قسمت‌هایی از رودخانه که کanal به صورت ناگهانی وسیع می‌شود، به علت کاهش قدرت رود، رسوبات در وسط کanal انباسته می‌شوند. همچنین رخمنون‌های سنگی سخت سازند آغازاری شامل دیواره‌های کم ارتفاع به طور عرضی بستر رود را قطع می‌نماید.

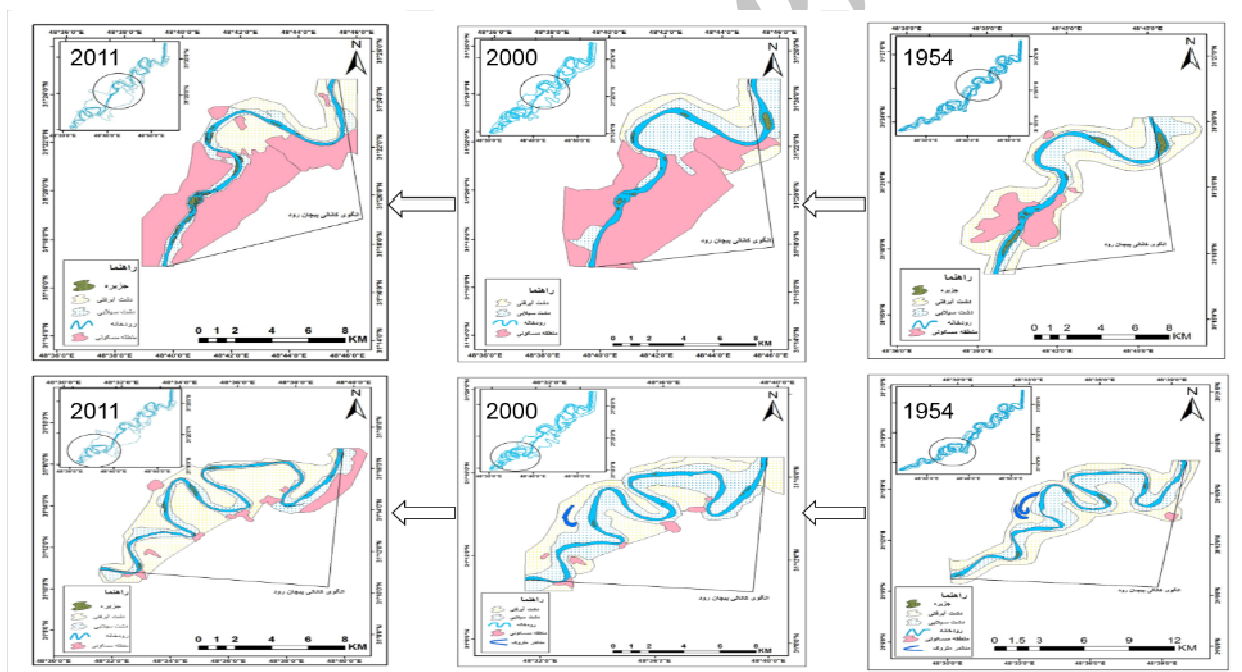
۳- جزایری که به صورت پوینت بار در محدوده کanal و چسبیده به کرانه رود تشکیل می‌شوند. این جزایر به صورت قوسی در امتداد کرانه محدب خمیدگی مئاندرها تشکیل می‌شوند (شکل ۴، ۵، ۶).



شکل ۴: نمونه‌ای از جزایر به وجود آمده در رودخانه کارون (سازمان آب منطقه‌ای استان خوزستان)



شکل ۵: نقشه ژئومورفولوژی بازه اول و دوم محدوده مورد مطالعه



شکل ۶: نقشه ژئومورفولوژی بازه سوم و چهارم محدوده مورد مطالعه

ویژگی‌های رسوب‌شناسی جزایر

در بررسی اندازه ذرات تعداد ۹ نمونه از رسوبات جزایر در عمق ۲۵ سانتی‌متر آنالیز شدند. نتایج گرانولومتری نمونه‌ها با استفاده از نرم‌افزار آماری Excel صورت گرفته است و نام‌گذاری رسوبات و محاسبه پارامترهای بافتی (میانگین، میانگین، جور شدگی، کج شدگی و کشیدگی) به روش ترسیمی فولک (۱۹۸۰) انجام گرفته است (جدول ۲). ترتیب نمونه‌ها از پایین‌دست به بالا دست می‌باشد.



شکل ۷: محل برداشت تعدادی از نمونه رسوبات جزایر رودخانه کارون

| میانگین | میانه | توصیف گشیدگی | گشیدگی | توصیف گج شدگی | گج شدگی | توصیف جوهر شدگی | جوهر شدگی | شماره نمونه |
|---------|--------|--------------------------------|--------|-------------------------------------|---------|--------------------|-----------|-------------|
| ۰/۰۱۱ | ۰/۰۱۳ | (mesoKurtic) متوسط | ۰/۰۹۹ | (coarse Skewed) داشت | -۰/۷۸۴ | جوهر شدگی بد | ۱/۶۱۷ | ۱ |
| ۰/۰۰۶ | ۰/۰۰۴ | (leptokurtic) کشیده | ۱/۱۷۳ | Strongly coarse (Skewed) پسیار داشت | -۰/۴۵۸ | جوهر شدگی بد | ۱/۴۱ | ۲ |
| ۰/۰۰۶ | ۰/۰۰۴ | (leptokurtic) کشیده | ۱/۲۲۵ | Strongly coarse (Skewed) پسیار داشت | -۰/۴۷۸ | جوهر شدگی بد | ۱/۲۰۸ | ۳ |
| ۰/۲۸ | ۰/۲۸۵ | (very leptokurtic) بسیار کشیده | ۲/۱۴۸ | (coarse Skewed) داشت | -۰/۲۶۷ | جوهر شدگی بد | ۱/۲۸۳ | ۴ |
| ۰/۰۰۴ | ۰/۰۰۴ | (mesoKurtic) متوسط | ۱/۰۷۹ | (coarse Skewed) داشت | -۰/۳۱۳ | جوهر شدگی بد | ۱/۲۶۷ | ۵ |
| ۰/۰۶۷ | ۰/۰۴۶ | (very platykurtic) بسیار بهن | ۰/۶۰۵ | (coarse Skewed) داشت | -۰/۳۳۷ | چوهر شدگی بسیار بد | ۲/۵۹ | ۶ |
| ۰/۰۲۹ | ۰/۰۳۲ | (very platykurtic) بسیار بهن | ۰/۶۵۴ | (near symmetric) تقریباً متقاض | -۰/۶۴ | جوهر شدگی بسیار بد | ۲/۴۰۶ | ۷ |
| ۰/۰۰۷ | ۰/۰۰۴ | (mesoKurtic) متوسط | ۱/۰۸ | (coarse Skewed) داشت | -۰/۳۶۱ | جوهر شدگی بد | ۱/۴۵۸ | ۸ |
| ۰/۰۲۱ | ۰/۰۰۳۷ | (very platykurtic) بسیار بهن | ۰/۶۳۱ | (near symmetric) تقریباً متقاض | -۰/۱۸۹ | جوهر شدگی بسیار بد | ۲/۴۳۸ | ۹ |

جدول ۲: مقادیر پارامترهای کشیدگی، جوهر شدگی، کج شدگی میانه و میانگین در نمونه رسوبات جزایر رودخانه کارون
میانه و میانگین: با توجه به آنالیز رسوبات جزایر رودخانه کارون، مشاهده می‌شود که میانگین و میانه رسوبات دارای نوسان می‌باشد. در سایتهای ۲، ۳، ۵، ۸، ۲، ۳، ۵، ۸، ذرات ریز و در سایتهای ۷، ۹، ۱۴، ۶، ۷، ۹ ذرات درشت‌دانه هستند. عدم نظم در میانگین و میانه رسوبات به خاطره آشفتگی سیلاپ‌ها می‌باشد و نشان‌دهنده این است که رسوبات طی سیلاپ‌های متفاوتی نهشته‌گذاری شده‌اند (جدول ۲).

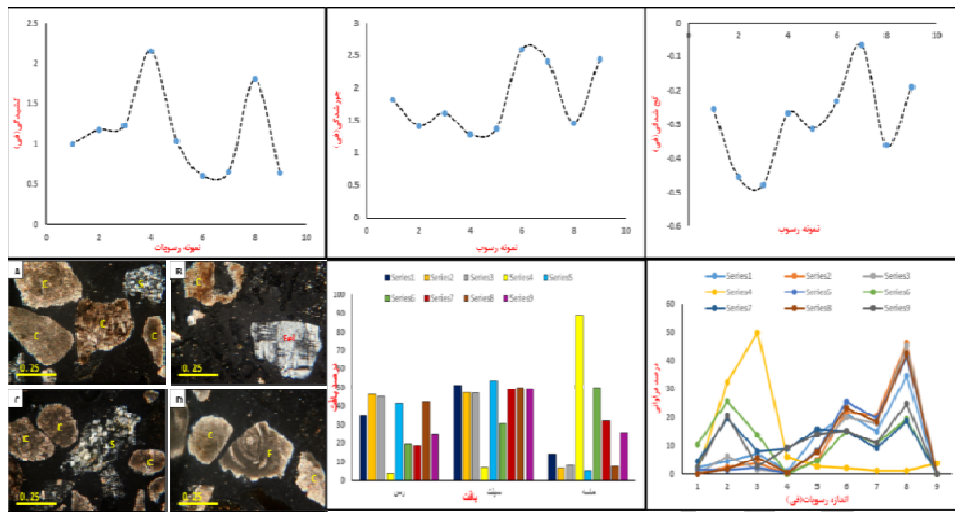
کج شدگی رسوبات: کج شدگی عبارت است از نامتجانس بودن منحنی توزیع ذرات که به‌وسیله منحنی توزیع مشخص می‌گردد. در منحنی‌های متقاض مقدار کج شدگی صفر است. در منحنی‌هایی که دنباله آن‌ها به‌طرف راست یا به‌طرف رسوبات دانه‌ریز تر متمایل باشد مثبت و اگر دنباله منحنی به‌طرف چپ یا رسوبات دانه‌درشت تر متقابل باشد منفی است. از کج شدگی برای تعبیر و تفسیر محیط رسوبی فرآیندهایی که باعث حمل و نقل شده است استفاده می‌شود. به عنوان مثال اگر کج شدگی مثبت باشد (اکثریت با رسوبات دانه‌ریز باشد) نشانه رسوب‌گذاری در یک محیط آرام می‌باشد و اگر کج شدگی منفی باشد (اکثریت با رسوبات دانه‌درشت). رسوب‌گذاری در یک محیط پرانرژی صورت گرفته است. مقدار این پارامتر بر اساس تقسیم‌بندی جامع فولک (۱۹۸۰) محاسبه شده است (جدول ۲) (شکل ۸).

جور شدگی رسوبات: یکنواختی یا جون شدگی عبارت است از اینکه: ذرات تشکیل‌دهنده رسوب یا سنگ تا چه اندازه به یکدیگر نزدیک باشند. رسوبات سیلابی به علت مخلوط بودن ذرات دانه‌بریز و دانه‌درشت، معمولاً دارای جور شدگی بد هستند. انحراف معیار ترسیمی جامع (جور شدگی) به روش فولک (۱۹۸۰) محاسبه شده است (جدول ۲). بر اساس این نتایج ۷۰ درصد نمونه‌ها دارای جور شدگی بد و ۳۰ درصد دارای جور شدگی بسیار بد می‌باشند. تفاوت در جور شدگی رسوبات به دلیل وجود ناپیوستگی‌های رسوبی موجود در هر نمونه از رسوبات سیلابی، تغییرات انرژی، تغییرات ناشی از منشأهای متفاوت رسوبات از سازندهای مختلف است و البته در رسوبات جدیدتر ممکن است جور شدگی ذرات تحت تأثیر تخریب بافت ذرات توسط فعالیت‌های کشاورزی صورت گرفته در محدوده بالادست باشد.

کشیدگی رسوبات: کشیدگی رسوبات بر اساس مقیاس فولک (۱۹۷۴) محاسبه شده است (جدول ۲). کشیدگی منحنی اطلاعات زیادی در رابطه با جور شدگی و اندازه دانه‌ها می‌دهد که این اطلاعات برای تعبیر و تفسیر محیط رسوبی و همچنین فرآیندهای رسوب‌گذاری از اهمیت خاصی برخوردار است. بیشتر اختلافات در منحنی‌ها در رابطه با دنباله آن‌هاست که این خود نشان‌دهنده مقدار ذرات ریز یا درشت در رسوبات است. همچنین بر اساس نمودار توزیع نرمال رسوبات (شکل ۸) اغلب رسوبات دارای نمودارهای بایمدال (Bimodal) و مولتی مدال (Multi modal) می‌باشند و این نشان‌دهنده آن است که رسوبات از سازندها و منشأهای مختلفی سرچشمه گرفته‌اند که این خود گواهی بر سیلابی بودن این رسوبات است.

بافت رسوبات: بافت رسوبات جزایر بر اساس دانه‌ها و درصد اجزای آن طبق طبقه‌بندی اداره کشاورزی ایالات متحده (USA) صورت گرفت که همان‌طور که مشاهده می‌شود همه رسوبات آنالیز شده از نوع ماسه، سیلت و رس می‌باشند و دارای بافت سبک هستند (شکل ۸).

ترکیب رسوبات: برای شناسایی ترکیب رسوبات منطقه مورد مطالعه، ابتدا رسوبات در طی چند مرحله با استفاده از میکروسکوپ مورد تجزیه و تحلیل قرار گرفته و بر اساس پارامترهایی مانند اندازه‌های دانه‌ها، حالت گرد شدگی و شکستگی از ۹ گروه ۳ نمونه انتخاب شده و با استفاده از رسوبات باقی‌مانده روی غربال ۲ فی از آن‌ها مقطع میکروسکوپی تهیه شد و با توجه به این مقطع‌جنس سازندهای غالب در این نمونه‌ها مشخص شده است. با توجه به مقطع میکروسکوپی مطالعه شده و نتایج به دست آمده از آن اغلب اجزای تشکیل‌دهنده این رسوبات از جنس خردکهای آهکی به صورت اسکلتی و غیر اسکلتی و مقدار کمتری نیز خردکهای ماسه‌سنگ است. همچنین ذرات پراکنده کوارتز نیز در نمونه‌ها مشاهده می‌شود (شکل ۸). با توجه به سنگ‌شناسی سازندهای زمین‌شناسی در این حوضه آبریز، منشأ این رسوبات اغلب از سازندهای آغازگاری، کنگلومرای بختیاری، پابده و به‌طور کلی از سازندهای آهکی و ماسه‌سنگی ایالت ساختاری زاگرس می‌باشند.

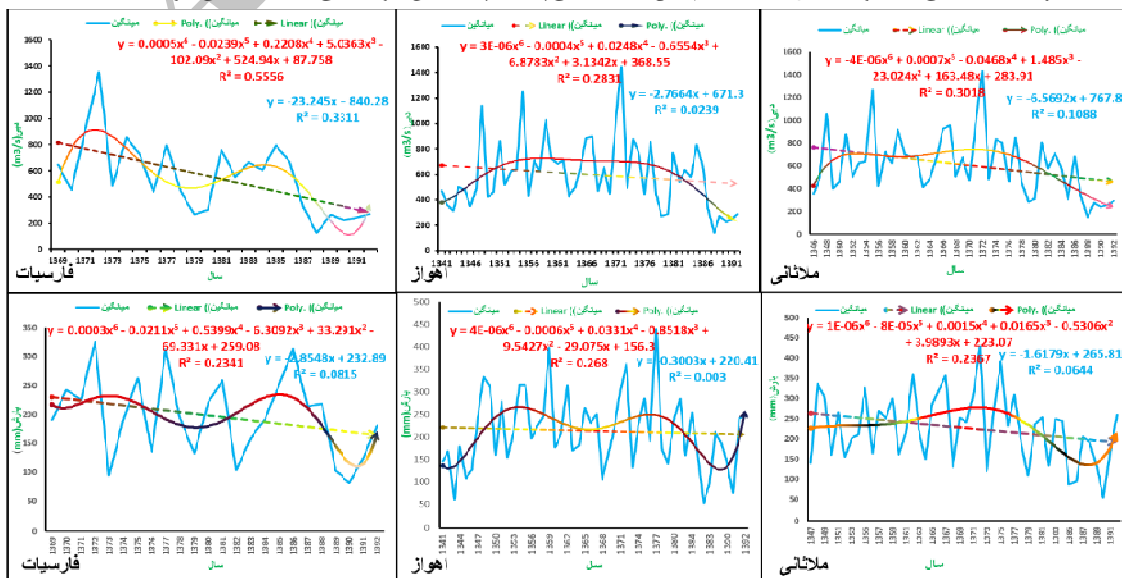


شکل ۸: نمودارهای کشیدگی، جور شدگی، توزیع نرمال، بافت و ترکیب رسوبات رودخانه کارون

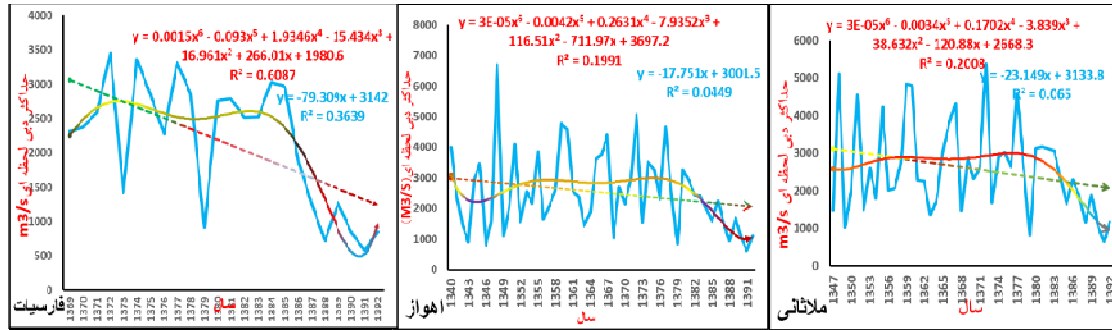
عوامل مؤثر در تغییرات ژئومورفولوژی رودخانه کارون

۱- تغییرات دبی

در رودخانه کارون دبی از اهمیت ویژه‌ای برخوردار است، کاهش دبی و تغییرات سطح آب در محدوده موردمطالعه یکی از عوامل تأثیرگذار بر شکل‌گیری و تغییرات مسیر رودخانه کارون در سال‌های اخیر می‌باشد. بر اساس نمودارهای روند تغییرات دبی و بارش سالانه در منطقه موردمطالعه (شکل ۹) از سال ۱۳۳۴ تا سال ۱۳۹۲ با توجه به نتایج حاصل از رگرسیون خطی و پلی نومیال مرتبه ۶ در بازه زمانی ۵۲ ساله دبی و بارش سالانه منطقه دارای نوسانات زیادی به صورت دوره‌ای بوده است. همچنین در بلندمدت و در حالت کلی دبی و بارش منطقه روندی کاهشی را با شیب زیاد نشان می‌دهند. نتایج حاصل از رگرسیون خطی و پلی نومیال مرتبه ۶ روند تغییرات دبی حداکثر لحظه‌ای طی بازه زمانی موردمطالعه را روندی کاهشی نشان می‌دهد. با توجه به نمودارهای دبی حداکثر لحظه‌ای رودخانه کارون (شکل ۱۰) مشاهده می‌شود که دبی‌های نسبتاً بزرگ در رودخانه کارون زیاد است به طوری که تا قبل از سال ۱۳۷۷ در هر سه ایستگاه هیدرومتری بیشترین سال‌ها دارای دبی بالای ۲۰۰۰ مترمکعب در ثانیه بوده است که نشانه سیلان خیز بودن منطقه موردمطالعه می‌باشد و از سال ۱۳۷۷ تا پایان بازه زمانی (۱۳۹۲) کاهش روند دبی مشاهده می‌شود.

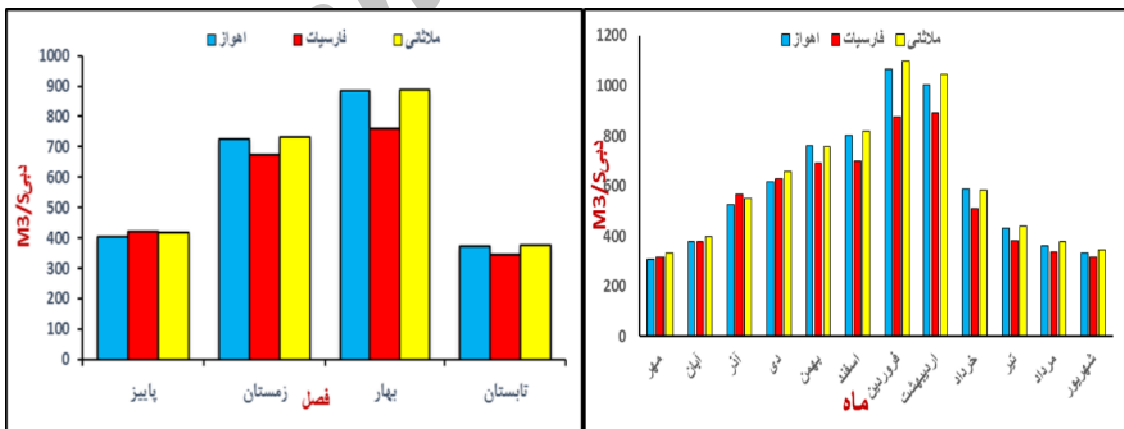


شکل ۹: نمودار روند تغییرات دبی متوسط سالانه در ایستگاه‌های هیدرومتری ملاتانی، اهواز و فارسیات



شکل ۱۰: دبی حداکثر لحظه‌ای در ایستگاه‌های هیدرومتری ملاتانی، اهواز و فارسیات

فصل بهار در حوضه آبریز موردمطالعه علاوه بر افزایش بارندگی با افزایش دما و درنتیجه ذوب سریع برف شروع می‌گردد که افزایش دبی رودخانه‌ها را به دنبال دارد. بررسی دبی‌های فصلی در ایستگاه‌های هیدرومتری موردنظر حکایت از حداکثر آبدی‌هی در فصل بهار دارد. همچنین حداقل دبی فصلی این ایستگاه‌ها مربوط به تابستان بود که دلایل آن برداشت بی‌رویه آب رودخانه برای مصارف کشاورزی، صنعتی و انتقال آب از سرشاخه‌های رودخانه و همچنین تبخیر شدید در منطقه موردمطالعه می‌باشد (شکل ۱۰). چنانکه مشاهده می‌گردد در ایستگاه هیدرومتری ملاتانی کمترین دبی در ماه مهر (۳۳۱/۶۱ مترمکعب در ثانیه) و بیشترین دبی در فروردین ماه (۱۰۹۸/۳۹ مترمکعب در ثانیه) گزارش شده است، در ایستگاه هیدرومتری اهواز کمترین دبی در ماه مهر (۳۰۷/۵۷ مترمکعب در ثانیه) و بیشترین دبی در ماه فروردین (۱۰۶۴/۵۴ مترمکعب در ثانیه) می‌باشد، در ایستگاه فارسیات کمترین دبی همانند دو ایستگاه قبل در ماه مهر (۳۱۴/۶۶ مترمکعب در ثانیه) و بیشترین دبی در اردیبهشت ماه (۸۹۴/۵۶ مترمکعب در ثانیه) است که با توجه به اینکه حوضه آبریز در یک منطقه کوهستانی قرار دارد، فروردین و اردیبهشت‌ماه در منطقه مصادف با شروع افزایش دما و ذوب برف‌ها در ارتفاعات بالادست می‌باشد، بیشترین دبی در هر سه ایستگاه هیدرومتری در این دو ماه به ثبت رسیده است (شکل ۱۱).



شکل ۱۱: نمودار دبی فصلی و ماهانه ایستگاه‌های ملاتانی، اهواز و فارسیات

عوامل مؤثر بر تغییرات دبی

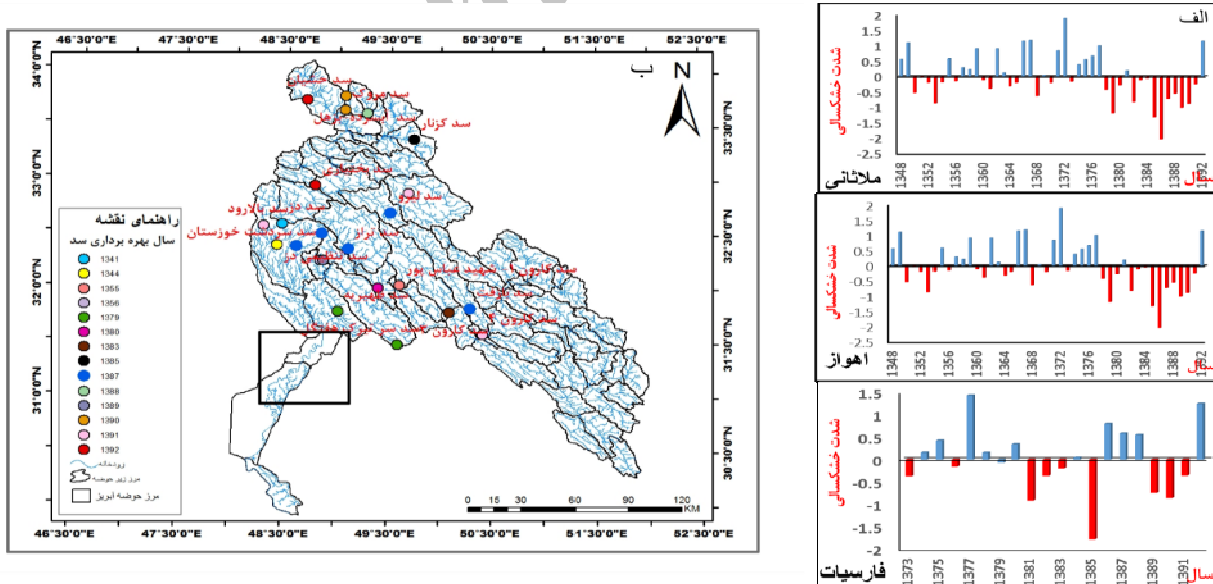
SPI بررسی رابطه بین دبی و خشکسالی هیدرولوژیکی با استفاده از ضریب

با توجه به نمودارهای خشکسالی که داده‌های آن مقداری به دست‌آمده به‌وسیله‌ی شاخص استاندارد بارش (SPI) می‌باشد و با توجه به نتایج بدست‌آمده از تحلیل رگرسیون خطی و پلی نومیال مرتبه ۶، روند بلندمدت شدت خشکسالی به‌صورت افزایشی با شبکه کم دیده می‌شود که نشان‌دهنده‌ی افزایش خشکسالی در منطقه موردمطالعه می‌باشد.

با توجه به روند تغییرات دبی مشاهده شده است، دوره‌هایی که دبی کاهش شدید داشته، هم‌زمان با دوره‌های شدت خشکسالی رودخانه که از طریق شاخص استاندارد بارش SPI به دست آمده، می‌باشد درنتیجه کاهش و افزایش دبی منطبق بر دوره‌های خشکسالی و تراسالی می‌باشد(شکل ۱۲؛الف).

بورسی تأثیر ساخت سد بر دبی رودخانه

با توجه به اینکه تأثیر خشکسالی بر کاهش دبی رودخانه مورد بررسی قرار گرفت. اکنون به تأثیر ساخت سد بر کاهش دبی رودخانه می‌پردازیم تا مشخص کنیم کدام مورد در کاهش دبی بیشتر بوده است. با توجه به نقشه موقعیت سدهای ساخته شده در بالادست رودخانه از سال ۱۳۴۱ تا سال ۱۳۹۲ تعداد ۲۴ سد فقط بر روی سرشاخه‌های رودخانه متصل به بالادست منطقه موردمطالعه، مورد بهره‌برداری قرار گرفته است که بیشترین تعداد آن‌ها در سال‌های اخیر بوده است. حجم قابل توجهی از دبی رودخانه توسط این سدها در بالادست متوقف می‌شود و به مصرف کشاورزی و تأمین آب شرب شهرهای نزدیک سد می‌رسد. با توجه به آمار بیلان سدهای ساخته شده که از سازمان آب منطقه‌ای استان خوزستان دریافت شد؛ سد گدارلند از سال ۱۳۸۱ تا سال ۱۳۹۳ در مجموع ۱۲۶۱۰۲ میلیون مترمکعب، سد دز از سال ۱۳۸۱ تا ۱۳۹۳ در مجموع ۸۳۸۰۵ میلیون مترمکعب، سد تنظیمی گتوند از سال ۱۳۹۱ تا سال ۱۳۹۳ در مجموع ۲۷۲۶ میلیون مترمکعب، سد کارون ۳ از سال ۱۳۹۱ تا سال ۱۳۹۳ در مجموع ۶۴۳۹۳ میلیون مترمکعب و سد کارون ۴ از سال ۱۳۹۰ تا ۱۳۹۳ در مجموع ۱۲۲۶۱ میلیون مترمکعب از حجم آب در بالادست منطقه، توسط این سدها که نمونه‌ای از سدهای ساخته شده هستند، متوقف می‌شود. با نگاهی به تاریخ بهره‌برداری سدها و میانگین سالانه دبی رودخانه مشاهده می‌شود که دبی پس از آبگیری سدهای ساخته شده با کاهش چشمگیری مواجه بوده است. با بررسی دبی حداقل لحظه‌ای رودخانه نیز مشاهده شده بعد از بهره‌برداری بیشترین تعداد سدهای ساخته شده در منطقه روند دبی حداقل لحظه‌ای نیز به صورت کاهشی می‌باشد. به طوری که که در هر سه ایستگاه کمترین میزان دبی حداقل لحظه‌ای در سال ۱۳۹۱ یعنی بعد از بهره‌برداری سد گتوند است(شکل ۱۲،ب).



شکل شماره ۱؛ الف: نمودارهای میانگین سالانه شدت خشکسالی هیدرولوژیکی در ایستگاه‌های موردمطالعه ب: نقشه سدهای بهره‌برداری شده در بالادست حوضه آبریز موردمطالعه

۲- زمین‌شناسی و شیب رودخانه

عوامل زمین‌شناسی نقش مؤثری در کنترل رفتارهای رودخانه دارند. در بالادست محدوده موردمطالعه وجود طاقدیس شوستر عمود بر مسیر جهت حرکت رودخانه باعث شده است که مسیر رودخانه کاملاً تحت تأثیر این نوع از بالآمدگی‌های ساختاری به صورت طاقدیس باشد همچنین سبب پرشیب شدن مسیر رودخانه و شکل‌گیری الگوی شریانی شده است. وجود طاقدیس و گسل معکوس اهواز عمود بر مسیر رودخانه سبب تغییرات مورفلوژی خاص در الگو و میزان سینوسی بازه‌های پایین دست و بالادست شده است. ایجاد مسیر مستقیم در رودخانه از روند ساختاری طاقدیس اهواز تعییت کرده و تحت کنترل آن است همچنین وجود بروزند های سنگی آغازاری الگوی شریانی محدودی را در مرکز شهر اهواز در داخل رودخانه کارون ایجاد کرده است.

جدول ۳: شبیب بازه‌های رودخانه کارون و طول دره آن‌ها (مرشدی و همکاران، ۱۳۷۹: ۶)

| نام بازه | طول دره رودخانه(m) | طول بازه(m) | شبیب بازه(%) |
|------------------------------------|--------------------|-------------|--------------|
| از شهر ملاثانی تا ویس | ۱۸۲۳۱ | ۱۸۸۴۸/۸۳ | ۰/۰۰۸۵۴۲ |
| از شهر ویس تا روستای سید عامر | ۲۲۵۱۶ | ۵۱۴۲۷/۷۸ | ۰/۰۰۶۳۲ |
| از روستای سید عامر تا پل ششم اهواز | ۹۷۸۸ | ۵۱۴۲۷/۷۸ | ۰/۰۲۲۰۶۳ |
| از پل ششم اهواز تا روستای موران | ۳۱۱۰۹ | ۱۸۸۴۸/۸۳ | ۰/۰۰۴۹۹۹ |

۳- دخالت‌های انسانی

در رودخانه کارون از دخالت‌های انسان می‌توان به ساخت سدهای متعدد در بالادست منطقه موردمطالعه اشاره کرد که تأثیر زیادی بر کاهش دبی و ایجاد تغییرات مورفلوژیکی رودخانه داشته است همچنین احداث پل‌های متعدد با پایه‌های بسیار زیاد به‌ویژه در محدوده شهر اهواز باعث رسوب گذاری شدید در مقطع اصلی رودخانه شده است. پل‌های ساخته شده، مشابه یک سد یا بند عمل کرده و سبب پس‌زدگی آب شده و باعث رسوب گذاری در بالادست شده‌اند. تقریباً بالادست و پایین دست تمامی پل‌های موجود، جزایر رسوی رشد و توسعه یافته‌اند. این جزایر باعث افزایش رقوم بستر رودخانه شده و ظرفیت آب‌گذری رودخانه را به‌شدت کاهش می‌دهد. در شکل ۱۳ مسیر عبور رودخانه کارون از میان جزایر رسوی در محدوده شهر اهواز و پل‌های موجود بر روی این رودخانه نشان داده شده است. یکی دیگر از دخالت‌های انسان تغییرات کاربری اراضی اطراف رودخانه و ساخت‌وسازهای شهری می‌باشد. به‌طور مثال ساحل سازی‌های انجام‌شده در محدوده موردمطالعه، ساخت پارک‌های ساحلی و غیره که به صورت عاملی برای تغییرات عرض رودخانه و تغییرات مورفلوژیکی رودخانه می‌باشند. پوشش گیاهی کناره‌ها که می‌تواند بر روی میزان فرسایش ناشی از جریان، فرسایش پذیری کناره‌ها و پایداری کناره تأثیرگذار باشد. در رودخانه کارون پوشش گیاهی به صورت مانع عمل نموده و باعث نهشته‌گذاری در کناره‌های بستر می‌شود (شکل ۱۳).



شکل ۱۳: تصاویری از نقش عوامل مختلف بر تغییرات بستر رودخانه

نتیجه‌گیری

یافته‌های پژوهش حاکی از آن است که در سه دوره زمانی موردبررسی تغییرات چشمگیری در مورفولوژی بستر رودخانه کارون دیده می‌شود. مهم‌ترین این تغییرات شامل تغییر در عرض و مثاندرهای رودخانه می‌باشد، بیشترین تغییر در محدوده شهر اهواز مشاهده شده است. به طوری که در یک مقطع عرضی رودخانه از ۶۵۸ متر در سال ۱۳۳۴ به ۳۶۸ متر در سال ۱۳۹۰ کاهش پیداکرده است. همچنین ایجاد جزایر رسوبی و توسعه آن‌ها به‌ویژه در محدوده شهر اهواز که به صورت جزایر طولی، عرضی و پوینت بار تقسیم‌بندی شدن، از دیگر تغییرات اساسی در مورفولوژی بستر رودخانه کارون بوده است. وجود این جزایر با پوشش گیاهی که در آن‌ها روییده شده است به صورت مانع جهت تخلیه مطلوب آب رودخانه عمل می‌کنند و باعث کاهش ظرفیت انتقال آب در محدوده شهر اهواز می‌شوند به طوری که رودخانه قبلاً قادر به عبور دبی با حجم بسیار زیاد بوده است اما در سال‌های اخیر قادر به عبور دبی‌های با حجم کمتر نیست و با اولین بارش رگباری سیلاب‌ها با حجم بالا به محدوده شهر وارد می‌شوند و خسارت‌های زیادی را به شهر وارد می‌کنند. برخلاف معمول که افزایش دبی باعث ایجاد سیلاب می‌شود در منطقه موردمطالعه کاهش دبی در حوضه با توجه به تغییراتی که در مورفولوژی بستر رودخانه می‌دهد، باعث افزایش سیلاب شده است. ویژگی‌های رسوب‌شناسی این جزایر نشان داد که عدم نظم در میانه و میانگین رسوبات به‌خاطر آشفتگی سیلاب می‌باشد و نشان‌دهنده این است که رسوبات طی سیلاب‌های متفاوتی نهشته‌گذاری شده‌اند. اغلب رسوبات دارای نمودارهای بایمداں و مولتی‌مداں می‌باشند و این نشان‌دهنده آن است که رسوبات از سازندها و منشأهای مختلفی سرچشمه گرفته‌اند. بافت رسوبات از نوع ماسه، سیلت و رس می‌باشد و ترکیب آن‌ها با توجه به مقاطع رسوبی تهیه شده از جنس خردنهای آهکی به صورت اسکلتی و غیر اسکلتی و مقدار کمتری نیز خردنهای ماسه‌سنگ است. همچنین ذرات پراکنده کوارتز نیز در نمونه‌ها مشاهده می‌شود. منشأ این رسوبات سازنده‌های آغازگاری، کنگلومرای بختیاری، پابده و به طور کلی سازنده‌های آهکی و ماسه‌سنگی ایالت ساختاری زاگرس می‌باشد. در بررسی علل این تغییرات نتایج زیر حاصل شد:

۱- مهم‌ترین و اصلی‌ترین علت تغییرات مورفولوژی بستر رودخانه کارون دخالت‌های انسانی است. این دخالت‌ها به صورت ساخت سد در بالادست رودخانه، ساخت پل‌های متعدد بر روی رودخانه به‌ویژه محدوده شهر اهواز، تغییر کاربری اراضی که شامل تغییر در عرض رودخانه به دلیل ساخت‌وسازهای شهری، ساحل سازی، تبدیل بسترهاي سیلابی به زمین‌های کشاورزی و ساخت پارک‌های ساحلی می‌باشد.

۲- کاهش دبی رودخانه به‌واسطه خشکسالی هیدرولوژیکی و ساخت سدهای متعدد در بالادست رودخانه

۳- عامل زمین‌شناسی و شیب رودخانه

۴- پوشش گیاهی کناره‌های بستر

تشکر و قدردانی

این تحقیق مستخرج از پایان‌نامه کارشناسی ارشد می‌باشد. از سازمان جغرافیایی نیروهای مسلح برای در اختیار قرار دادن تصاویر ماهواره‌ای IRS کمال تشکر و قدردانی را داریم.

منابع

- دماوندی نژاد منفرد، احمد. ۱۳۷۸. تحلیل سیلاب‌های حوزه میانی کارون، پایان‌نامه کارشناسی ارشد، دانشگاه شهید چمران، صص ۲۲۲.
- سازمان جغرافیایی نیروهای مسلح. ۱۳۹۲. تصاویر ماهواره‌ای IRS باقدرت تفکیک ۲/۵ متر سال ۲۰۱۱.
- سازمان جغرافیایی نیروهای مسلح. ۱۳۹۲. عکس‌های هوایی بلوك ملاثانی و اهواز، مقیاس ۱:۵۵۰۰۰ سال ۱۳۳۴.
- سازمان زمین‌شناسی و اکتشافات معدنی کشور. ۱۳۷۳. نقشه زمین‌شناسی اهواز با مقیاس ۱:۲۵۰۰۰۰.

- شرکت سهامی آب منطقه‌ای استان خوزستان. ۱۳۹۲. آمار دبی و رسوب ایستگاه‌های ملاثانی، اهواز و فارسیات.
- شاهی نژاد، بابک، رستمی، سعید و محمودی، سهام الدین. ۱۳۸۵. بررسی هیدرولیکی جریان در رودخانه کارون محدوده شهری اهواز، هفتمین سمینار بین‌المللی مهندسی رودخانه، اهواز، دانشگاه شهید چمران، صفحه ۱-۱۰.
- علائی طالقانی، محمود. ۱۳۸۴. ژئومورفولوژی ایران، نشر قومس، صص ۴۰-۴.
- قاسمی قهصاره، عباسعلی. مرادی، کاظم. مشرفی فر، محمدرضا و قاسمی قهصاره، میثم. ۱۳۹۰. بررسی اثرات تغییر محیط رسوبی بر پارامترهای فیزیکی، مکانیکی و شیمیایی خاک (رودخانه کارون بازه اهواز تا خرمشهر)، مجموعه مقالات گردهمایی علوم زمین، صفحه ۱-۷.
- مرشدی، جعفر. علوی پناه، سید کاظم. ۱۳۷۹. آشکار سازی تغییرات ژئومورفیک مسیر رودخانه کارون با استفاده از داده‌های GIS و RS (بازه شوستر تا اروندرود) صص ۱-۱۲.

- Alfredo Ollero (2009) *Channel changes and floodplain management in the meandering middle Ebro River, Spain*, vol 117 pp 247-260
- Bertoldi, W, L Zanoni, M. Tubino (2012) *Assessment of morphological changes induced by flow and flood pulses in a gravel bed braided river: the Tagalamento river Italy* Geomorphology 114 pp 348-260.
- Folk, E., 1980. *Petrography of Sedimentary Rocks*. Hemphill Publishing Company. pp. 182.
- Fung, T., Ledrew, E., (1998), "The Determination Of Optimal Threshold Levels For Change Detection Using Various Accuracy Indices", Photogrammetric Engineering and Remote Sensing 54(10)1449-1454.
- MaKee, T. B. Doeskin, N. J and Kleist. J. (1995) *Drought Multiple time Scales*", 9th conference on Applied climatology Dallas, TX, 15-20, pp 233-236.
- Orfeo. O, a, J. Stevaux (2002) *Hydraulic and morphological characteristics of middle and upper reaches of the Parana River (Argentina and Brazil)* Geomorphology 44p 309 -322.
- Sarma, J. N (2005) *Floval process and morphology of the Brahmaputra River in Assam, India*, Geomorphology 70 pp 226 -26.
- Schumm, S. A. and H. R. Khan. (1972) *Experimental study of channel patterns*, Geol. Soc. Of America Bull. vol. 83, pp. 1755-1770
- Yang, Xiaojun, Michiel C. J. Damen and Robert A. van Zuidam, (1999), "satellite remote sensing and geographic information system for Michiel C. J.
- Yasser Raslan and Radwa Salama (2015) *Development of Nile River islands between Old Aswan Dam and new Esna barrages*. Vol 29. Pp 77-92.
- Damen and monitoring morph dynamic of the active yellow river delta, China". *Applied Earth Observation and Geoinformation*, Vol 1. pp 146-157.
- John M. Buffington (2012) *Changes in Channel Morphology over Human Time Scales*, vol 32. pp 435-463.
- Di Silvio G and Nones M(2013) *Morphodynamic reaction of a schematic river to sediment input changes:Analytical approaches*, pp 1-8.
- Clerici A. Perego S. Chelli A. Tellini C (2015) *Morphological changes of the floodplain reach of the Taro River (Northern Italy) in the last two centuries*, vol 527,pp 1106-1122.